

**СИЛЬНАЯ ЛЕНГМЮРОВСКАЯ ТУРБУЛЕНТНОСТЬ,  
ТУРБУЛЕНТНЫЙ НАГРЕВ ПЛАЗМЫ ПУЧКАМИ ЭЛЕКТРОНОВ  
И ЛАЗЕРНОЕ ОБЖАТИЕ ВЕЩЕСТВА**

*Л.И.Рудаков*

На основе солитонной модели сильной ленгмюровской турбулентности предсказываются закономерности турбулентного нагрева плазмы пучками электронов и света и установлены условия осуществимости сверхсильного сжатия вещества.

1. Наиболее мощным из вероятных каналов передачи энергии интенсивных пучков электронов и электромагнитных волн в тепловую энергию плазмы является ленгмюровская турбулентность. Это подтверждается, в частности, одномерными численными экспериментами, в которых ленгмюровская турбулентность возникает в плазме вследствие параметрических не-

устойчивостей возбуждаемых электромагнитной волной [1], или пучком электронов [2]. В результате дробления масштабов устанавливается квазистационарное состояние  $|E_k|^2 \sim k^{-2}$  с потоком турбулентной энергии  $w$  от области генерации  $k_0 \approx \omega_p/c$  до  $k_{max} \approx \omega_p r_D^{-1}$ , где ленгмюровские колебания поглощаются вследствие линейного затухания Ландау и возникает высокоэнергичная электронная компонента.

Эти результаты могут быть объяснены с помощью солитонной модели турбулентности [1 – 5]. Солитоны образуются вследствие модуляционной неустойчивости однородной ленгмюровской турбулентности при  $w/nT > (k_0 r_D)^2$  и представляют из себя сгустки ленгмюровских колебаний, захваченных в областях разряжения плазмы, создаваемых действием давления ВЧ поля. Образование солитонов энергетически выгодно, так как частота ленгмюровских "квантов" при этом уменьшается и высвобождаемой энергии с избытком хватает на расталкивание плазмы. Энергия колебаний, заключенных в солитоне, определяется его объемом, а минимальный размер солитона зависит от амплитуды поля

$$\int \frac{E^2}{4\pi} d^3r \approx \begin{cases} 3\pi Tr_D^2 l^{-1} \\ 3\pi Tr_D^2 l \end{cases}, \quad l \approx r_D \left( \frac{12\pi nT}{E^2} \right)^{1/2}. \quad (1)$$

в одномерном и трехмерном случае, соответственно. В результате столкновений солитоны могут сливаться и делиться. В одномерном случае слияние двух солитонов дает солитон с меньшей шириной, а в трехмерном случае солитоны с малыми масштабами появляются при делении крупных. Так как солитоны с масштабом  $l/r_D \ll (w/nT)^{1/2}$  в среднем отделены друг от друга на расстояние много большее их размера, то преимущественно будут парные столкновения. Теоретические соображения и численный эксперимент для одномерного случая, показывают, что взаимодействуют солитоны сравнимых амплитуд, а характерная скорость солитона  $v_{T_i} < v < C_s$  [5]. Поэтому в трехмерном случае вследствие делений, происходящих с частотой  $\sim \pi C_s l^2 N_l$  в область поглощения будет поступать энергия:

$$q \approx \pi n Tr_D^2 C_s l^3 N_l^2 = - \frac{d}{dt} n' T' . \quad (2)$$

Здесь  $n'$  и  $T'$  – плотность и температура горячей компоненты электронов,  $N_l$  – число солитонов с масштабом  $l$  в ед. объема.

Электрон, пролетающий солитон за время меньшее полупериода изменения поля,  $\pi/\omega_p$ , изменяет свою скорость в среднем на величину  $\Delta v$ ,  $m v \Delta v = e E l \approx T$ . В результате многократных столкновений, происходящих с частотой  $ml^2 v N$  ( $l < \frac{v}{\omega_p}$ ), электроны будут набирать энергию в соответствии с уравнением

$$\frac{df'}{dt} = \pi \frac{\partial}{\partial v} \frac{v_{T_e}^4}{v^2} l^2 v N \left( l < \frac{v}{\omega_p} \right) \frac{\partial f'}{\partial v} \approx \pi \frac{\partial}{\partial v} \frac{v_{T_e}^4}{v} \left( \frac{qv}{c_s n Tr_D v_{T_e}} \right)^x \frac{\partial f'}{\partial v} . \quad (3)$$

2. Турбулентный нагрев плазмы пучками электронов ( $n_b$ ,  $v_b$  — плотность и скорость частиц пучка). Для этой задачи в условиях установившегося процесса под  $q$  нужно понимать мощность генерации ленгмюровской энергии пучком,  $q = 2\gamma_b w_b$ , где  $\gamma_b$ ,  $w_b$  — инкремент и плотность энергии колебаний в области неустойчивых волновых чисел. Нелинейные процессы рассеяния колебаний на ионах ограничивают  $w_b$  на уровне, см. [6]:

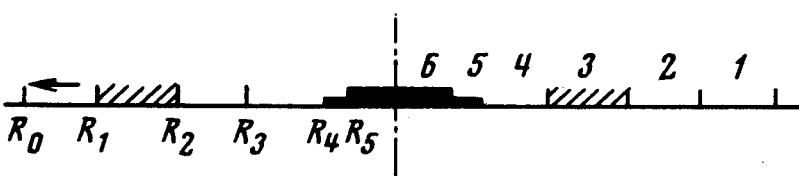
$$\frac{w_b}{nT} < \frac{\gamma_b}{\omega_p} \frac{T_e}{T_i} \left( 1 + \frac{T_e}{T_i} \frac{M}{m} \frac{v_{T_e}^2}{v_b^2} \right), \quad \frac{\gamma_b}{\omega_p} \geq \frac{n_b}{n} \frac{m}{m_b} . \quad (4)$$

Хотя имеется мощный механизм турбулентного нагрева, но он переводит энергию пучка в энергию малого количества энергичных электронов. Проходя область торможения пучка,  $\lambda = m_b n_b v_b^2 / 2\gamma_b w_b$  электроны плазмы могут получить энергию, в соответствии с уравнением (3) и оценками (4) равную:

$$T' = m_b v_b^2 \left[ \left( \frac{M}{m} \right)^{\frac{1}{2}} \frac{v_T' v_{T_e}}{v_b^2} \frac{\omega_p n T}{\gamma_b w_b} \frac{n^2 b^2 m^2}{m_b^2} \right]^{1/4} \approx m_b v_b^2 \left[ \frac{\left( \frac{M}{m} \right)^{\frac{1}{2}} \frac{v_T' v_{T_e}}{v_b^2} \frac{T_i}{T_e}}{1 + \frac{T_e}{T_i} \frac{M}{m} \frac{v_{T_e}^2}{v_b^2}} \right]^{1/4} , \quad (5)$$

т. е. практически, температура энергичной компоненты электронов будет близка к энергии частиц пучка или выше, если электроны будут проходить область нагрева многократно.

3. Рассмотрим качественно процесс сферического обжатия вещества за счет энергии лазеров в предположении, что процесс нагрева плазмы описывается уравнениями (2) и (3). На рисунке изображено расположение характерных областей в этом процессе. Энергия пучков света поглощается вследствие параметрических неустойчивостей в области 3,



где частота света  $f \leq \omega_p / 2\pi$ . Мы здесь не обсуждаем какая доля света поглощается, а какая отражается и в нашем рассмотрении фигурирует лишь величина  $Q = qV_3$  — мощность, закачиваемая в ленгмюровские колебания. Частицы из "хвоста" максвелловского распределения, попадающие в режим турбулентного нагрева набирают энергию в результате многократного прохождения области 3 и теряют энергию за счет кулон-

новских потерь, главным образом, когда они внедряются в плотные слои вещества 5. Столкновение с плотным ядром вероятно после  $(R_0/R_4)^2$  пролетов частицей области нагрева 3; так что за время жизни она приобретает энергию, в соответствии с уравнением (3) равную:

$$T^* = \frac{R_0}{R_4} T_e \left[ \frac{Q R_2^2}{V_3 C_s n_e T_e r_D} \left( \frac{T^*}{T_e} \right)^{\frac{1}{2}} \right]^{\frac{1}{2}} . \quad (6)$$

Горячие электроны, вылетая за радиус плазмы  $R_0$ , создают электрическое поле, которое увлекает за собой ионы. Область 1 – это расширяющаяся со средней скоростью  $(T^*/M)^{\frac{1}{2}}$  горячая плазма с плотностью  $n^*$ . Вследствие многих отражений от поверхности  $R_0$  горячая компонента электронов изотропизируется и ее температура и плотность примерно постоянны в объеме от  $R_0$  до  $R_5$ . Поэтому изменение температуры электронов плазмы в этом объеме будет описываться обычным уравнением для  $T_e$  с объемным однородным источником  $Q/N$ , где  $N$  – полное число электронов в области  $R_0$  до  $R_5$ . Это уравнение вместе с газодинамическими уравнениями для плазмы и выражением (7) для глубины внедрения определяют динамику сжатия вещества.

Быстрые электроны, внедряясь в область 5, нагревают ее и создают избыток давления, которое сжимает вещество в области 6. В установившемся режиме глубина внедрения в вещество с атомным номером  $Z$ , должна быть сравнима с  $R_5$

$$\int_{R_5}^{2R_5} (Z+1)n_e dr \approx 10^{13} T^{*2} \approx 10^{13} T_e^2 (\varepsilon_B) \left( \frac{R_0}{2R_5} \right)^2 \left( \frac{QR_2^2}{V_3 C_s T_e r_D} \right)^{\frac{1}{2}} . \quad (7)$$

Рассматриваемый режим сжатия будет отличаться от обычного, теплового, если можно пренебречь выносом тепла из области 5 в область 6 из-за электронной теплопроводности. Тогда  $T_e = \int \frac{Q dt}{N}$ .

Как известно, наибольшее сжатие вещества в области 6 можно получить в условиях, когда не возникают ударные волны, прогревающие об-

ласть 6. В таком режиме  $\frac{dR_5}{dt} = \left( \gamma \frac{P_6}{P_0} \right)^{\frac{1}{2}} \sim \frac{1}{R_5}$ ,  $R_5 \sim \sqrt{t}$  (время мы отсчи-

тываем назад от момента максимального сжатия). Чтобы удовлетворить этому условию, соотношению (7) и примерному равенству давлений в областях 5 и 6, надо чтобы мощность нагрева  $Q$  менялась по определенному закону. На последних стадиях сжатия можно пренебречь изменением размеров  $R_0$ ,  $R_2$  и количеством частиц  $N_3$ ,  $N$ . Поэтому должно быть

$$Q \sim t^{-6/5} . \quad (8)$$

Этот закон сильно отличается от закона подвода мощности при чисто тепловом обжатии  $Q \sim t^{-2}$ . Чтобы в конце процесса при  $t = t_0$  иметь одинаковое  $Q$ , надо на сжатие в рассмотренном режиме затратить в 5 раз больше энергии. Этот результат – следствие того, что температура горячей зоны  $R > R_5$  меняется слабо,  $T \sim t^{-1/5}$ , и на начальной стадии процесса плазма из области 5 выбрасывается слишком горячей в сравнении с центральной областью. Это снижает КПД использования энергии.

Очевидно, чтобы обжатие было возможным, надо выполнить условие (7) на последней стадии, когда  $R_5 \rightarrow R_{min}$ ,  $Z_5 T_5 \rightarrow Z_6 T_6$ . Это возможно если:

$$N_6 > 10^{13} \frac{Z_6^3}{Z_5^4} R_0^2 \left( \frac{Q_{max} R_2^2}{C_s N_3 T_5 r_D} \right)^{\frac{1}{2}} T_6^2 (\text{эв}), \quad (9)$$

или иначе  $N_{\text{атом}} > 10^{13} \frac{Z_6^2}{Z_5^4} R_0^2 \left( \frac{N R_2^2}{N_3 R_{min} r_D} \right)^{\frac{1}{2}} T_6^2 (\text{эв})$ ,

Численный фактор в скобке  $\sim 10^{+6}$ . При  $R_0 = 2R_2 = 10^{-1} \text{ см}$ ,  $T_6 = 3 \cdot 10^3 \text{ эв}$ ,  $R_2/R_{min} = 30$ , получаем, что необходимо сжать  $10^{21} Z_6^2/Z_5^4$  атомов. Для этого надо при КПД 10%, по крайней мере  $10^7 Z_6^2/Z_5^4$  дж энергии.

Поступила в редакцию  
26 апреля 1974 г.

## Литература

- [1] W.Kruer, K.Estabrook, J.Thompson. Preprint UCRL- 74947, 1973.
- [2] R.N.Sudan. Proc VI European Plasma Phys. Conf. Moscow, 1973.
- [3] Л.И.Рудаков. ДАН СССР, 207, 821, 1972.
- [4] A.S.Kingsep, L.I.Rudakov, R.N.Sudan. Phys. Rev. Lett., 31, 1482, 1973.
- [5] Л.М.Дегтярев, В.Г.Маханьков, Л.И.Рудаков. ЖЭТФ, 67, №8, 1974
- [6] В.Н.Цытович. Нелинейные эффекты в плазме, М., Изд. Наука, 1967.